

Die Reaktionen $\text{Li}^6(\text{d},\text{p})\text{Li}^7$ und $\text{Li}^6(\text{d},\text{e})$ bei Deuteronenenergien von 3 bis 5 MeV

Autor(en): **Meyer, V. / Pfeifer, W. / Staub, H.H.**

Objektyp: **Article**

Zeitschrift: **Helvetica Physica Acta**

Band (Jahr): **36 (1963)**

Heft IV

PDF erstellt am: **25.09.2024**

Persistenter Link: <https://doi.org/10.5169/seals-113384>

Nutzungsbedingungen

Die ETH-Bibliothek ist Anbieterin der digitalisierten Zeitschriften. Sie besitzt keine Urheberrechte an den Inhalten der Zeitschriften. Die Rechte liegen in der Regel bei den Herausgebern.

Die auf der Plattform e-periodica veröffentlichten Dokumente stehen für nicht-kommerzielle Zwecke in Lehre und Forschung sowie für die private Nutzung frei zur Verfügung. Einzelne Dateien oder Ausdrucke aus diesem Angebot können zusammen mit diesen Nutzungsbedingungen und den korrekten Herkunftsbezeichnungen weitergegeben werden.

Das Veröffentlichen von Bildern in Print- und Online-Publikationen ist nur mit vorheriger Genehmigung der Rechteinhaber erlaubt. Die systematische Speicherung von Teilen des elektronischen Angebots auf anderen Servern bedarf ebenfalls des schriftlichen Einverständnisses der Rechteinhaber.

Haftungsausschluss

Alle Angaben erfolgen ohne Gewähr für Vollständigkeit oder Richtigkeit. Es wird keine Haftung übernommen für Schäden durch die Verwendung von Informationen aus diesem Online-Angebot oder durch das Fehlen von Informationen. Dies gilt auch für Inhalte Dritter, die über dieses Angebot zugänglich sind.

Die Reaktionen $\text{Li}^6(d, p)\text{Li}^7$ und $\text{Li}^6(d, \alpha)\alpha$ bei Deuteronenenergien von 3 bis 5 MeV

von V. Meyer, W. Pfeifer und H. H. Staub

Physik-Institut, Universität, Zürich

(2. XII. 62)

Abstract: The reactions $\text{Li}^6(d, p)\text{Li}^7$ to the ground state, the 1. excited state at 0.478 MeV and the 2. excited state at 4.63 MeV in Li^7 were studied at deuteron energies between 3.4 and 5.2 MeV. Reduced widths are obtained for the first two reactions. The transition to the 4.63 MeV level in Li^7 shows no stripping behaviour as is to be expected if this level is the $7/2^-$ member of the ^{22}F doublet in Li^7 . In addition the $\text{Li}^6(d, \alpha)\alpha$ -reaction was studied in the same energy interval. A 2^+ -level in Be^8 was found at an excitation energy of 25 MeV in Be^8 .

Einleitung

Die vorliegende Arbeit wurde unternommen zur Untersuchung der Reaktion $\text{Li}^6(d, p)\text{Li}^7$ zum 2. angeregten Zustand (4,63 MeV) in Li^7 . Dieser Übergang wurde bisher zweimal bei einer Einfallenergie von 14,4 MeV beobachtet, mit widersprechenden Ergebnissen. HAFNER¹⁾ stellte einen deutlichen Anstieg der Protonenausbeute nach kleinen Winkeln hin fest und erreichte gute Strippinganpassung mit $l_n = 2$. Aus dieser Zuordnung folgt indessen positive Parität für den 4,63-MeV-Zustand, während der analoge Zustand im Spiegelkern Be^7 negative Parität besitzt. Tatsächlich fand HAMBURGER²⁾ kein Strippingverhalten, sondern eine praktisch isotrope Winkelverteilung der Protonen. Ein Vorschlag von WILKINSON³⁾ liess vermuten, dass ein allfälliger Strippingmechanismus dieser Reaktion, die den kleinen Q -Wert von 0,4 MeV hat, bei tieferen Deuteronenenergien deutlicher in Erscheinung treten müsste. Eine Untersuchung schien daher wünschenswert, um im Fall von Strippingverhalten Spin und Parität des 4,63-MeV-Zustands in Li^7 zu bestimmen.

Um ein sauberes Strippingverhalten zu erreichen, muss man eine (d, p) -Reaktion möglichst weit entfernt von Compoundkernresonanzen messen. In unserm Fall können solche Resonanzen im Be^8 -Compoundkern auftreten. Die (d, p) -Reaktion regt diesen Kern im Gebiet oberhalb von 22,279 MeV⁴⁾ an, wo im Zeitpunkt der Durchführung unserer Messungen keine Zustände bekannt waren. Es wurde daher gleichzeitig mit der (d, p) -Reaktion die Reaktion $\text{Li}^6(d, \alpha)\alpha$ gemessen. Diese verläuft aus kinematischen Gründen vorwiegend über den Compoundkern und ist wegen der hohen Energie der Reaktionsprodukte leicht messbar. Ein Nachteil besteht darin, dass sie nur Zustände in Be^8 mit geradem Spin, positiver Parität und Isobarenspin $T = 0$ erreicht. Es lagen bereits Messungen von HEYDENBURG⁵⁾ vor bis zur Deuteronenenergie von 3,5 MeV. Die vorliegende Arbeit erweitert den Messbereich auf 5,2 MeV.

Als Nebenergebnis wurden die Übergänge der (d, p)-Reaktion in den Grundzustand und 1. angeregten Zustand bei 0,478 MeV in Li^7 gemessen und die reduzierten Breiten aus ihren Stripping-Winkelverteilungen und Ausbeuten berechnet.

Apparatives

Die Deuteronen wurden vom Van de Graaff-Hochspannungsgenerator auf Energien von 2,4 bis 5,2 MeV beschleunigt und durch einen 90° -Magneten in die Streukammer gelenkt (Fig. 1). Diese besitzt einen drehbaren Deckel mit einer schiefen Bohrung (13° Neigung), durch welche die Reaktionsprodukte zum Detektor gelangen. Der Deckel ist auf justierbaren Rollen gelagert, so dass er von Hand mit Hilfe eines Zahnrades und Hebelarmes bewegt werden kann. Diese Konstruktion erlaubt eine kontinuierliche Schwenkung des Detektors von 13° bis 167° unter Aufrechterhaltung des Vakuums in der Kammer.

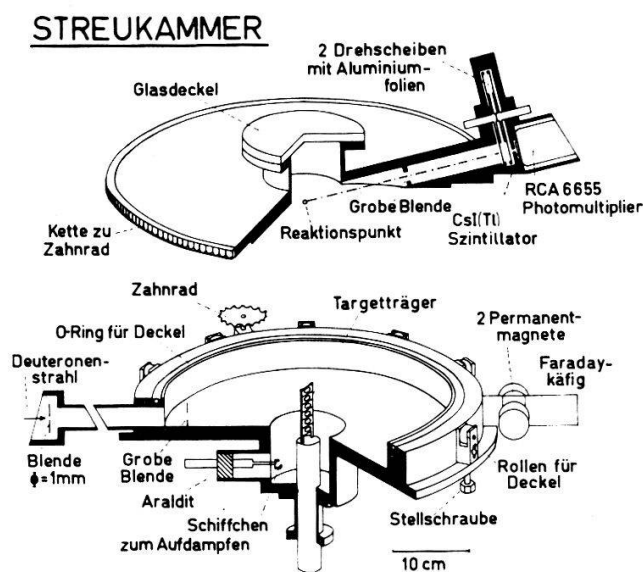


Fig. 1

Messapparatur

Der eng kollimierte Deuteronenstrahl ($\varnothing = 1\text{ mm}$) durchdringt die dünne Li^6 -Target, wird im Strahlfänger aufgefangen und mit einem Stromintegrator gemessen.

Das Lithium⁶) wurde in der Streukammer selbst aufgedampft auf eine selbsttragende, etwa $7\ \mu\text{g}/\text{cm}^2$ dicke Mowitalfolie⁷⁾ als Targetträger. Die Dicke der Metallschicht ergab sich aus ihrem Bremsvermögen gegenüber α , He^3 und d ; damit konnten die Wirkungsquerschnitte auf 20% genau absolut bestimmt werden. Zu Vergleichszwecken wurde auf diese Weise auch der Wirkungsquerschnitt der Reaktion $\text{Li}^6(p, \alpha)\text{He}^3$ (60° , $E_p = 1\text{ MeV}$) gemessen; er stimmt innerhalb des Fehlers mit der Angabe von MARION⁸⁾ et al. überein.

Die geladenen Reaktionsprodukte wurden mit Hilfe eines dünnen CsJ-(Tl)-Szintillators⁹⁾ gemessen, der auf einem RCA-6655-Photomultiplier aufgeklebt ist und dessen Pulse in einen RCL-256-Kanal-Analysator registriert. Direkt vor dem Detektor lassen sich Aluminiumfolien verschiedener Dicken einschieben; damit können die Teilchenarten anhand ihrer Energieverluste durch Abbremsung bestimmt werden.

Messungen und Resultate

 $\text{Li}^6(d, \alpha)\alpha$

Figur 2 zeigt die gemessenen Winkelverteilungen bei 6 verschiedenen Deuteronenenergien umgerechnet ins Schwerpunktsystem. Sie müssen in jedem Fall, unabhängig vom Reaktionsmechanismus, symmetrisch um 90° sein, da zwei α -Teilchen entstehen. Die Wirkungsquerschnitte in Figur 2 geben aus dem gleichen Grunde nur die halbe Ausbeute an α -Teilchen an.

Ferner ist es sehr unwahrscheinlich, dass die Reaktion durch α -pick up verläuft, da die beiden Partikel wegen des hohen Q -wertes einen sehr grossen Relativimpuls besitzen müssten. Nach RUSTGI¹⁰⁾ berechnet sich die Wahrscheinlichkeit für diese Aufspaltung zu 10^{-47} . Die stark energieabhängige Änderung der gemessenen Anisotropie zeigt auch experimentell, dass Stripping ausser Betracht fällt.

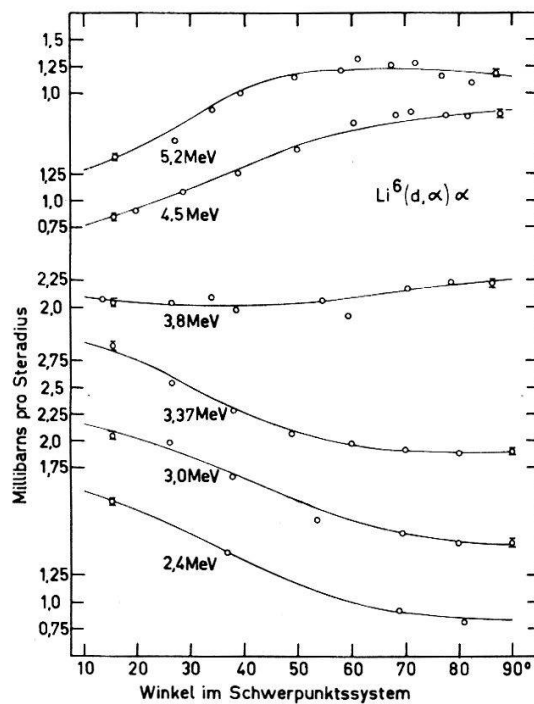


Fig. 2

Winkelverteilungen der Reaktion $\text{Li}^6(d, \alpha)\alpha$ bei 6 verschiedenen Deuteronenenergien. Die Kurven zeigen die Entwicklung nach geraden Legendre-Polynomen bis zur 4. Ordnung

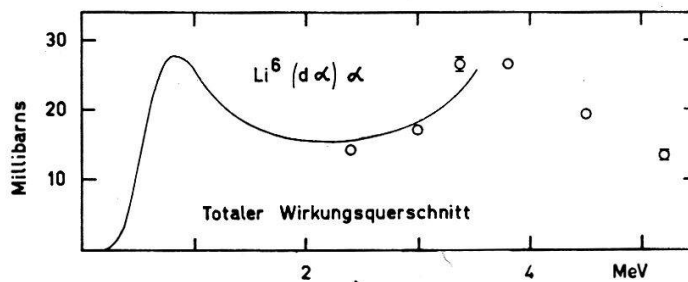


Fig. 3

Totaler Wirkungsquerschnitt der Reaktion $\text{Li}^6(d, \alpha)\alpha$ als Funktion der Deuteronenergie
Kreise: eigene Messungen; Kurve: Messungen von HEYDENBURG²⁾ (angepasst)

Es muss also der Compoundkern Be^8 gebildet werden. Aus dem Verlauf des totalen Wirkungsquerschnittes (Fig. 3) folgt, dass bei $E_d = 3,6$ MeV, also bei 25 MeV Anregungsenergie des Be^8 -Kerns, ein Niveau der Breite von etwa 1,4 MeV liegt. Die Messungen derselben Reaktion bei niedrigeren Energien durch HEYDENBURG⁵⁾ lassen sich durch einen Maßstabsfaktor an die gegenwärtige Messreihe anfügen.

Zur weiteren Untersuchung wurden den gemessenen Winkelverteilungen (Fig. 2) Kurven der Form

$$\frac{d\sigma(\theta)}{d\Omega} = a_0 P_0 + a_2 P_2 + a_4 P_4$$

angepasst ($P_n =$ Legendrepolynom n -ten Grades). Diese Kurven liegen innerhalb der statistischen Fehler. Glieder höherer Ordnung wurden daher vernachlässigt. Figur 4 zeigt den Verlauf der Legendrekoeffizienten an. Aus ihrer Energieabhängigkeit geht hervor, dass nicht nur ein einzelner Zustand zur Reaktion beiträgt. Es wurde daher eine Anpassung versucht unter Annahme von zwei interferierenden Zuständen, nämlich einem bei $E_d = 3,6$ MeV ($E_x = 25$ MeV in Be^8) und einem Zustand bei 0,8 MeV ($E_{ex} = 22,9$ MeV), der bereits in ⁵⁾ angenommen worden war. Von den möglichen Spinkombinationen ($0^+, 2^+$), ($0^+, 4^+$), ($2^+, 4^+$) ergab die Zuordnung 0^+ für den tieferen, 2^+ für den höheren Zustand die beste Anpassung. Sie ist in Figur 4 durch die ausgezogene Kurve dargestellt. Die Rechnungen wurden durch-

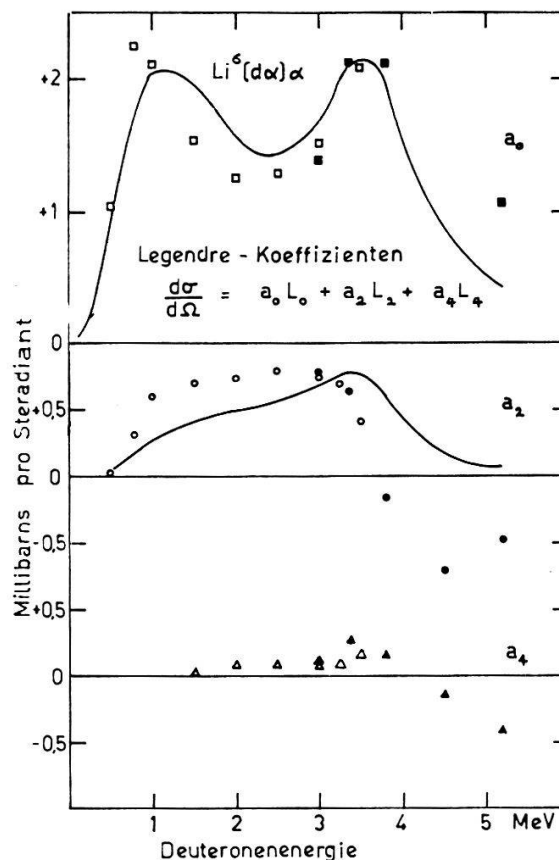
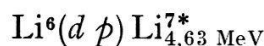


Fig. 4

Verlauf der Legendre-Koeffizienten aus der Entwicklung des differentiellen Wirkungsquerschnitts der Reaktion $\text{Li}^6(d, \alpha)\alpha$. Gefüllte Signaturen: eigene Messung; leere Signaturen: Messung von HEYDENBURG²⁾; Kurve: theoretischer Verlauf für 0^+ - und 2^+ -Niveau

geführt mit Hilfe der Theorie der Winkelkorrelationen¹¹⁾ von BIEDENHARN. Dieser Formalismus gestattet jedoch keine Berechnung von Interferenzen, die von Zuständen gleichen Spins und gleicher Parität herrühren. Eine mögliche Zuordnung $(2^+, 2^+)$ konnte daher in unseren Rechnungen nicht berücksichtigt werden. Hingegen fällt mit Sicherheit die Zuordnung $(0^+, 0^+)$ ausser Betracht, da sie Isotropie der Winkelverteilung ergeben müsste. Die Kombination $(4^+, 4^+)$ dagegen ergäbe einen viel grösseren Anteil des Koeffizienten a_4 als gemessen.

Seit Abschluss dieser Experimente sind weitere Arbeiten bekannt geworden, die den Anregungsbereich von Be^8 oberhalb von 20 MeV untersuchen. HAN und HEYDENBURG¹²⁾ haben mit Hilfe der Reaktion $\text{Li}^7(p, \alpha)\alpha$ Zustände gefunden bei $E_{ex} = 22,15$ MeV (2^+), $22,9$ MeV (4^+) und $25,13$ MeV (2^+), wobei die Spinzuordnungen noch unsicher sind. Eine Gruppe in Saclay¹³⁾ untersuchte ebenfalls die Reaktion $\text{Li}^6(d, \alpha)\alpha$. Ihre Resultate stimmen mit den vorliegenden innerhalb der Fehler überein, eine Analyse wurde jedoch noch nicht abgeschlossen. Unter Verwendung der Ergebnisse von ¹²⁾ wäre eine mögliche Deutung der $\text{Li}^6(d, \alpha)\alpha$ -Resultate die folgende: Der Hauptanteil der Ausbeute stammt von den beiden Zuständen bei $22,15$ MeV und $25,13$ MeV (beide 2^+), wobei das Maximum bei $0,8$ MeV durch eine Kombination von Resonanz und Penetrabilität der Deuteronen zustande kommt. Der Koeffizient a_4 stammt dann vom $22,9$ -MeV-Zustand, der durch die kleinere Penetrabilität für $l = 4$ Deuteronen stark unterdrückt ist. Eine quantitative Berechnung dieser Deutung steht noch aus. Die starken Abweichungen unserer angepassten Kurven von den Messresultaten bei $E_d = 4$ MeV zeigen, dass dort Interferenz vorliegen muss mit mindestens einem weiteren höher gelegenen Zustand, der vorläufig noch unbekannt ist. Es ist somit klar, dass im ganzen Energiebereich der vorliegenden Arbeit Resonanzen im Compoundkern Be^8 auftreten.



Figur 5 zeigt die Winkelverteilung der Protonen. Da sie immer auf einem kontinuierlichen Protonenuntergrund sitzen [aus $\text{Li}^6(d, p)\alpha + H^3$] kann die Ausbeute dieser Reaktion nicht sehr genau bestimmt werden.

Im vorliegenden Energiebereich ist kein Stripping festzustellen. Das ist auch zu erwarten, wenn der Zustand bei $4,63$ MeV in Li^7 wie der analoge im Be^7 zum ^{22}F -Dublett gehört ($I = 7/2^-$). Infolge der Spinerhaltung käme nur ein Einfang des Neutrons mit $l_n = 3$ in Frage, was aber nicht zu einem angeregten Zustand innerhalb der p -Schale führen kann. Im übrigen könnte auch der andere Term des Dubletts ($I = 5/2$) durch Stripping nicht erreicht werden, solange LS-Kopplung vorliegt, da auch dazu ein $l_n = 3$ nötig wäre. Auf eine Analyse der Winkelverteilung mit Hilfe einer Distorted-wave-Analyse kann daher verzichtet werden.

In der Annahme, es handle sich um Compoundkernbildung, wurde der differentielle Wirkungsquerschnitt wieder nach Legendrepolyomen bis zur 4. Ordnung entwickelt. Figur 5 zeigt die angepassten Kurven und Figur 6 den Verlauf der Legendrekoeffizienten. Ausgehend von den Annahmen des vorigen Abschnittes wurde eine analoge Anpassung gesucht, die im Übergang $2^+ 0 2^+ 3 3^-$ ¹⁴⁾ gefunden wurde (für den Endzustand des Li^7 -Kernes wurde hier der Spin $7/2^-$ angenommen). Man erhält damit eine isotrope Winkelverteilung, deren Verlauf als Funktion der Energie in Figur 6 eingezeichnet ist.

Wie bei der Reaktion $\text{Li}^6(d, \alpha)\alpha$ deuten auch hier die Abweichungen in a_0 und a_4 oberhalb 4 MeV auf ein höher liegendes Niveau hin, während hier ausserdem auch a_2 einen wesentlichen Beitrag aus einem Interferenzglied erhalten muss.



Die Winkelverteilungen der Protonen beider Reaktionen wurden bei den Deuteronenenergien 3,8 MeV und 5,2 MeV absolut gemessen. Es treten deutliche Strippingmaxima bei 30° (für 3,8 MeV) und bei 27° (für 5,2 MeV) auf. In allen Fällen lassen sich die Kurven für den differentiellen Wirkungsquerschnitt der Bornschen Näherung für Strippingreaktionen¹⁴⁾ mit $l_n = 1$ und $R_0 = 5,6 \cdot 10^{-13}$ cm anpassen. Daraus ergeben sich die reduzierten Breiten:

Deuteronenergie	$\theta_{(0)}^2$	$\theta_{(0,478)}^2$
3,8 MeV	0,019	0,034
5,2 MeV	0,025	0,036

Bei $E_d = 14,4$ MeV erhält HAMBURGER⁴⁾ grössere Werte:

$$\theta_{(0)}^2 = 0,052; \quad \theta_{(0,478)}^2 = 0,070.$$

Da die Darstellung von FRENCH¹⁵⁾, welche aus der Butler-Theorie hergeleitet ist¹⁶⁾, Coulombkräfte vernachlässigt, ist es verständlich, dass die reduzierten Breiten bei tieferen Deuteronenergien kleiner erscheinen.

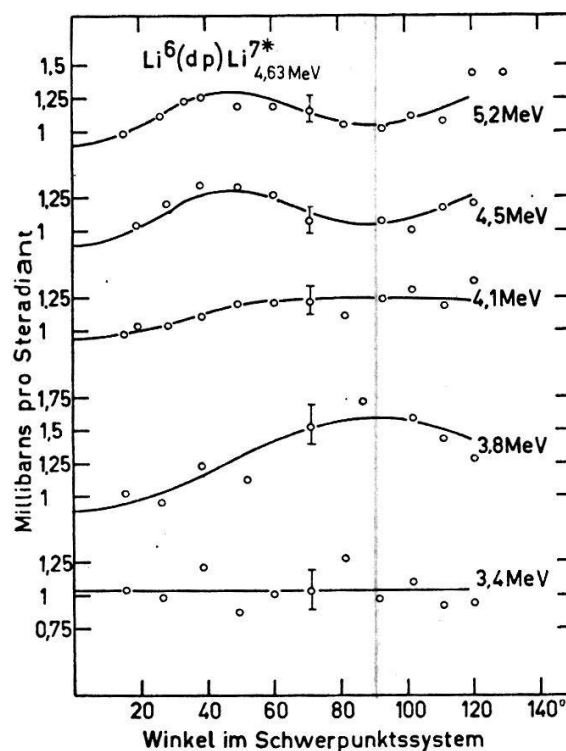


Fig. 5

Winkelverteilungen der Reaktion $\text{Li}^6(d, p)\text{Li}^{7*}$ bei 5 verschiedenen Deuteronenergien. Die Kurven zeigen die Entwicklung nach geraden Legendre-Polynomen bis zur 4. Ordnung

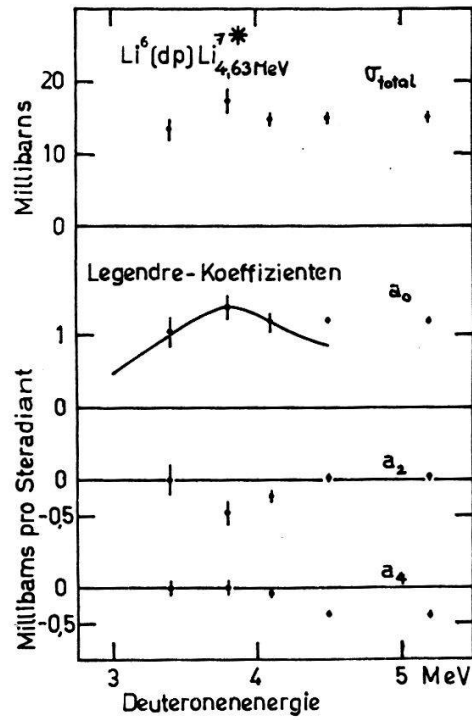


Fig. 6

Totaler Wirkungsquerschnitt der Reaktion $\text{Li}^6(d p)\text{Li}_{4,63\text{ MeV}}^{7*}$ und Legendre-Koeffizienten aus der Entwicklung des differentiellen Wirkungsquerschnitts.

Kurve: theoretischer Verlauf für ein 2^+ -Niveau

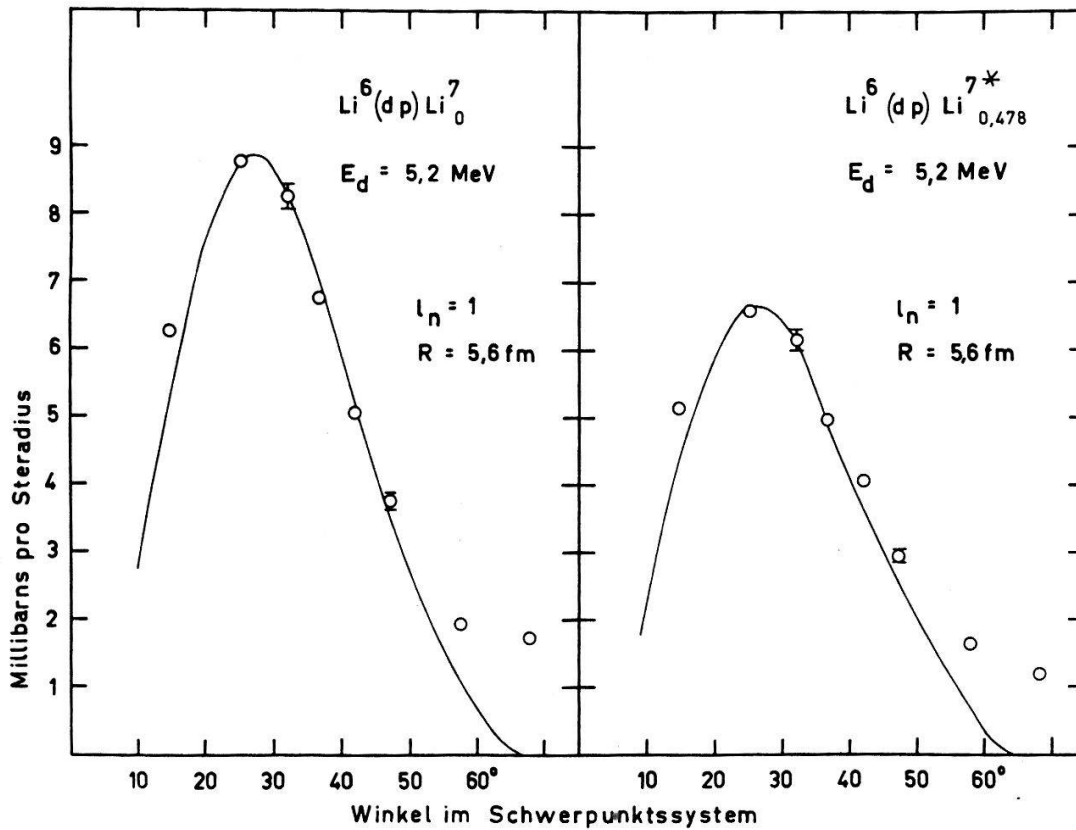


Fig. 7

Winkelverteilungen der Reaktionen $\text{Li}^6(d p)\text{Li}^7$ und $\text{Li}^6(d p)\text{Li}_{0,478\text{ MeV}}^7$ bei der Deuteronenergie 5,2 MeV. Kurven: eingepasste Butlerverteilungen

Literatur

- 1) J. W. HAFFNER, *Phys. Rev.* **103**, 1398 (1956).
- 2) E. W. HAMBURGER, J. R. CAMERON, *Phys. Rev.* **117**, 781 (1960).
- 3) D. H. WILKINSON, *Phil. Mag.* **8 Ser. 3**, 1185 (1958).
- 4) F. AJZENBERG-SELOVE, T. LAURITSEN, *Nucl. Phys.* **11**, 48 (1959).
- 5) N. P. HEYDENBURG et al., *Phys. Rev.* **74**, 405 (1948).
- 6) 96,1% angereichertes Li⁶, Oak Ridge National Laboratory.
- 7) Mowital F 40, Farbwerke Hoechst AG, Frankfurt.
- 8) J. B. MARION, G. WEBER, F. S. MOZER, *Phys. Rev.* **104**, 1402 (1956).
- 9) V. MEYER, H. MÜLLER, H. H. STAUB, R. ZURMÜHLE, *Nucl. Phys.* **27**, 284 (1961).
- 10) M. L. RUSTGI, *Nucl. Phys.* **27**, 58 (1961).
- 11) L. C. BIEDENHARN in *Nuclear Spectroscopy, Part B*, herausgegeben von F. AJZENBERG-SELOVE, Academic Press, N. Y. (1960).
- 12) I. G. HAN, N. P. HEYDENBURG, *Bull. Am. Phys. Soc. Ser. II*, Vol. **6**, 415 (1961).
- 13) J. M. JERONYMO et al., *Nucl. Phys.* **38**, 11 (1962).
- 14) Die Bezeichnungsweise wurde von BIEDENHARN übernommen (siehe ¹¹).
- 15) M. H. MACFARLANE, J. B. FRENCH, *Revs. Mod. Phys.*, Vol. **32**, No. 3, 569 (1960).
- 16) W. GRÜEBLER, J. ROSSEL, *Helv. Phys. Acta* **34**, 718 (1961).